

## ZnO - Bi<sub>2</sub>O<sub>3</sub>계 세라믹스의 미세구조 및 전기적 특성

이승주 · 한상복

강원대학교 재료공학과

(1988년 9월 22일 접수)

Microstructure and Electrical Characteristics of ZnO - Bi<sub>2</sub>O<sub>3</sub> Ceramics

Seung-Ju Lee and Sang-Mok Han

Dept. of Materials Engineering, Kang Won Nat. Univ.

(Received September 22, 1988)

### 요약

5 mole%의 Bi<sub>2</sub>O<sub>3</sub>를 첨가한 ZnO-Bi<sub>2</sub>O<sub>3</sub> 세라믹스의 미세구조와 전기적 특성을 소결온도와 소결방법에 따라 조사하였다. Bi<sub>2</sub>O<sub>3</sub> 입체층의 분포와 두께는 소결온도와 소결방법에 따라 변화하였으며, 1400°C로 소결하였을 때와 직접 승온하고 굽냉한 경우에서 입체층의 균일한 분포를 나타냈다. 이러한 미세구조적 변화는 전기적 특성에 직접 영향을 끼쳤으며, 1400°C와 C방법에서 높은 비저항과 비직선지수를 얻었다. 바리스터 전압은 소결온도가 증가함에 따라 감소하였으며, 고온에서 유지시간이 감소함에 따라 증가하였다. 계산에 의해 구한 장벽전압은 약 1.5 V 이었다.

### ABSTRACT

The microstructure and electrical characteristics of ZnO-Bi<sub>2</sub>O<sub>3</sub> ceramics containing 5 mol% Bi<sub>2</sub>O<sub>3</sub> have been studied in relation to sintering temperature and mode. The distribution and thickness of Bi<sub>2</sub>O<sub>3</sub> intergranular layer was varied with sintering temperature and mode. Intergranular layer was more homogeneous with increasing sintering temperature, when sintering by direct heating and rapid cooling mode showed the best distribution of intergranular layer.

These microstructural changes affected electrical characteristics directly, at 1400°C and C mode obtained high value of electrical resistivity and nonlinear exponent. Varistor voltage decreased with increasing sintering temperature, increased with decreasing holding time at high temperature. Barrier voltage obtained by calculation was about 1.5 V.

### 1. 서 론

ZnO의 결정구조는 ZnS의 wurtzite와 비슷한 육방정계(hexagonal)이며 이온화된 격자간 원자에 의해 생긴 전자때문에 n형 반도체 성질을 지니고 있다.<sup>1-2)</sup> ZnO 입자가 전기전도성을 가지는 것은 ZnO가 ZnO 결정을 형성하는

과정에서 산소의 Frenkel 격자결함이 형성되어 doner형의 불순물준위를 형성하기 때문이다. 그래서 ZnO은 상온에서 1~10 Ω·cm의 낮은 비저항을 갖게 된다.<sup>3)</sup> 이런 비저항은 고온에서 굽냉하거나 격자간 원자의 농도를 증가시키는 분위기에서 열처리함으로써 더욱 감소시킬 수 있다.

그리고,  $\text{Bi}_2\text{O}_3$ 는 약 825°C에서 용융되는 저용접산화물로 상온에서 안정된 상은  $\alpha$ 상(단사정계)이다. 상온 비저항은  $10^{19}\Omega \cdot \text{cm}$ 정도로 절연체에 가깝다.<sup>1)</sup>

이러한 특징을 가진  $\text{ZnO}$ 와  $\text{Bi}_2\text{O}_3$ 를 소결하면 저용접인  $\text{Bi}_2\text{O}_3$ 가 유통하여  $\text{ZnO}$  입자를 도포하므로써 순수한  $\text{ZnO}$ 보다 높은 비저항과 유전상수를 나타낸다. 또한 전기저항이 인가전압에 따라 변하는 비오옴성현상(nonohmic property)을 나타내어 바리스터(varistor)에 사용되는 기본조성으로 이용되고 있다.

본 연구에서는 소결온도와 소결방법의 변화에 의해 나타나는  $\text{ZnO}-\text{Bi}_2\text{O}_3$ 계 세라믹스의 미세구조를 비교분석하고, 나타난 미세구조가 전기적 특성에 미치는 영향에 대해 고찰하여 보고자 하였다.

## 2. 실험방법

### 2. 1 시편 제조

각 시편은 일반적인 세라믹스 제조공정에 의해 행하였다. 먼저  $\text{ZnO}$ (Junsei, G.R)와  $\text{Bi}_2\text{O}_3$ (Janssen, G.R)을 700°C에서 2시간 하소하고 agate mortar에서 7시간 습식분쇄하였다. 이를 완전히 건조하고 80번 체로 통과시켜 출발원료로 하였다. 이 분말을 1000Kgf/cm<sup>2</sup>의 성형압으로 두께 2.5mm, 지름 20mm의 성형체를 만들고 승온속도 300°C/hr로 Lindberg box furnace에서 소결하였다. 소결은 제 1 단계로  $\text{Bi}_2\text{O}_3$ 의 용융점 부근인 850°C에서 30분 유지하고, 제 2 단계로 1000~1500°C까지 각각 30분 유지한 후 상온으로 굽냉하였다.

그리고, 승온 및 냉각과정을 6 가지로 변화시켜 소결을 행하였는데 이는 Fig. 1에 나타내었다.

### 2. 2 측정

#### 2. 2. 1 수축률 및 무게 감소

수축률은 소결 전과 후의 두께와 지름의 선수축률로 정하였으며 무게감소도 역시 소결 전후의 시편의 무게감소량으로 정하였다.

#### 2. 2. 2 X-선 회절 분석

소결온도와 소결방법에 따른 상변화를 알아보기 위해 X-선 회절분석을 하였다.  $\text{Bi}_2\text{O}_3$ 피크의 정확성을 기하기 위해 시편을 5N-NaOH 용액에서 15시간 부식시킨 후 조사하였다.<sup>3)</sup> 사용한 회절기는 Philips 사의 PW 1710형으로 Cu target, Ni filter를 사용하였으며 35kV, 25mA에서 조사하였다.

### 2. 2. 3 미세구조 관찰

$\text{ZnO}$  입경과  $\text{Bi}_2\text{O}_3$  입경상의 분포를 알아보기 위해 시편의 자유표면과 10N-NaOH 용액에서  $\text{ZnO}$  입자를 선택부식한 후의 표면을 SEM으로 관찰하였다.<sup>4)</sup> 사용한 SEM은 ISI-SS 130 기종으로 19kV에서 관찰하였다.

### 2. 2. 4 전기적 특성

시편을 두께 1mm가 되도록 SiC 연마포로 연마하고 초음파세척기로 세척한 후 완전히 건조하였다. 건조시킨 시편에 지름 10mm가 되도록 Au ion coater로 3분간 코팅한 후 Ag paste로 리드선을 연결하였다.

이렇게 준비된 시편을 curve tracer(최대용량 2kV)을 이용하여 바리스터 진압( $V_{1mA/mm}$ ),  $\alpha$ 값을 계산하였으며 Megaohmometer를 이용하여 각 시편의 상온비저항값을 측정하였다.

## 3. 결과 및 고찰

### 3. 1 수축률과 $\text{Bi}_2\text{O}_3$ 의 고온 휘발

Fig. 2에  $\text{ZnO}$ 계 시편과  $\text{ZnO}-\text{Bi}_2\text{O}_3$ 계 시편의 수축률

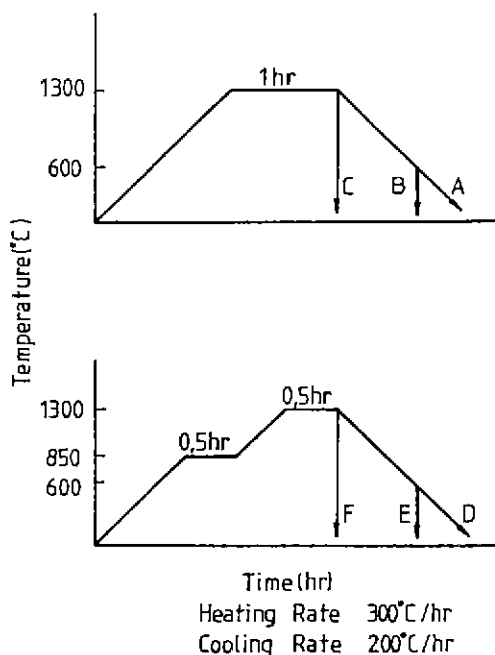


Fig. 1. Thermal schedule of various sintering mode.

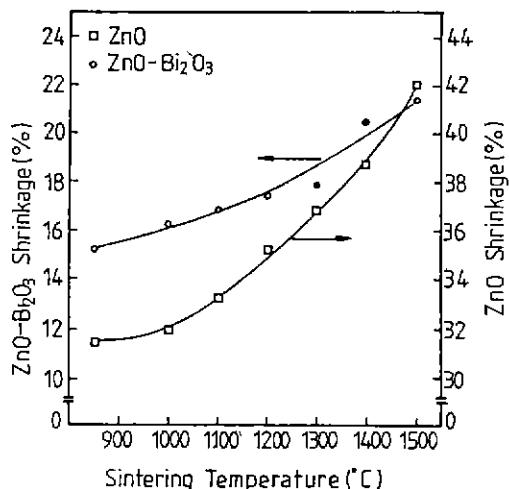


Fig. 2. Shrinkage of the binary ZnO-Bi<sub>2</sub>O<sub>3</sub> and pure ZnO ceramics sintered at various temperature.

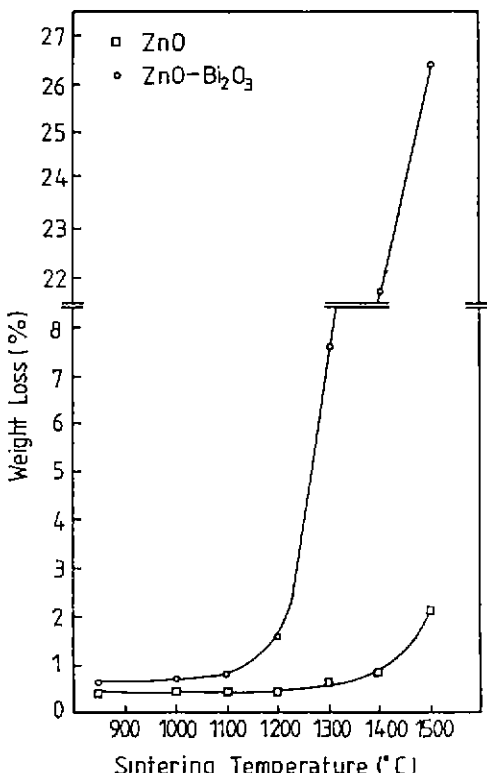


Fig. 3. Weight loss of the binary ZnO-Bi<sub>2</sub>O<sub>3</sub> and pure ZnO ceramics sintered at various temperature.

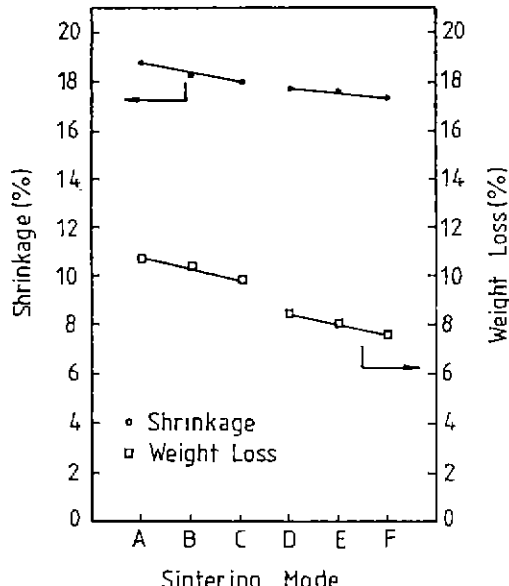


Fig. 4. Shrinkage and weight loss of the ZnO-Bi<sub>2</sub>O<sub>3</sub> ceramics sintered at various mode.

을 나타내 있다. ZnO 계 시편에 비해 ZnO-Bi<sub>2</sub>O<sub>3</sub> 계 시편에서 작은 수축률을 보였는데 이는 Bi<sub>2</sub>O<sub>3</sub>가 고온에서 유동하여 모세관 압력에 의해 ZnO 입자간의 기공을 데우므로 ZnO 입자간의 유품은 어느 정도 유지하게 되지만 ZnO 계 고상소결의 경우는 ZnO 입자간의 직접 접촉에 의해 치밀화가 이루어지므로 수축이 심하게 생기게 되기 때문이다.

Bi<sub>2</sub>O<sub>3</sub>의 고온 휘발을 알아보기 위한 무게감소율을 Fig. 3에 나타내었다. Bi<sub>2</sub>O<sub>3</sub>는 1200°C 이후 급격한 감소를 보여 1500°C에서는 약 26%의 무게감소를 일으켰다. 이는 첨가한 Bi<sub>2</sub>O<sub>3</sub>의 양(23.2 wt%)보다 많은 양인데 이로써 1500°C에서는 Bi<sub>2</sub>O<sub>3</sub>뿐만 아니라 ZnO도 소량 휘발한다는 것을 생각할 수 있었고 이는 ZnO 계 시편의 무게감소로 확인되었다.

이런 소결온도에 의해서 뿐만 아니라 소결방법에 따라서도 차이를 보였는데 이를 Fig. 4에 나타내었다. 직접 승온한 A, B, C mode 가 계단승온한 D, E, F mode에 비해 수축률 및 무게감소가 커오며 같은 승온과정이라 할지라도 급냉한 경우인 C, F mode에서 작은 값을 나타내었다. 이것은 소결온도뿐만 아니라 소결방법 즉 승온, 냉각, 그리고 고온에서 유지시간 등이 Bi<sub>2</sub>O<sub>3</sub> 휘발 및 수축률에 영

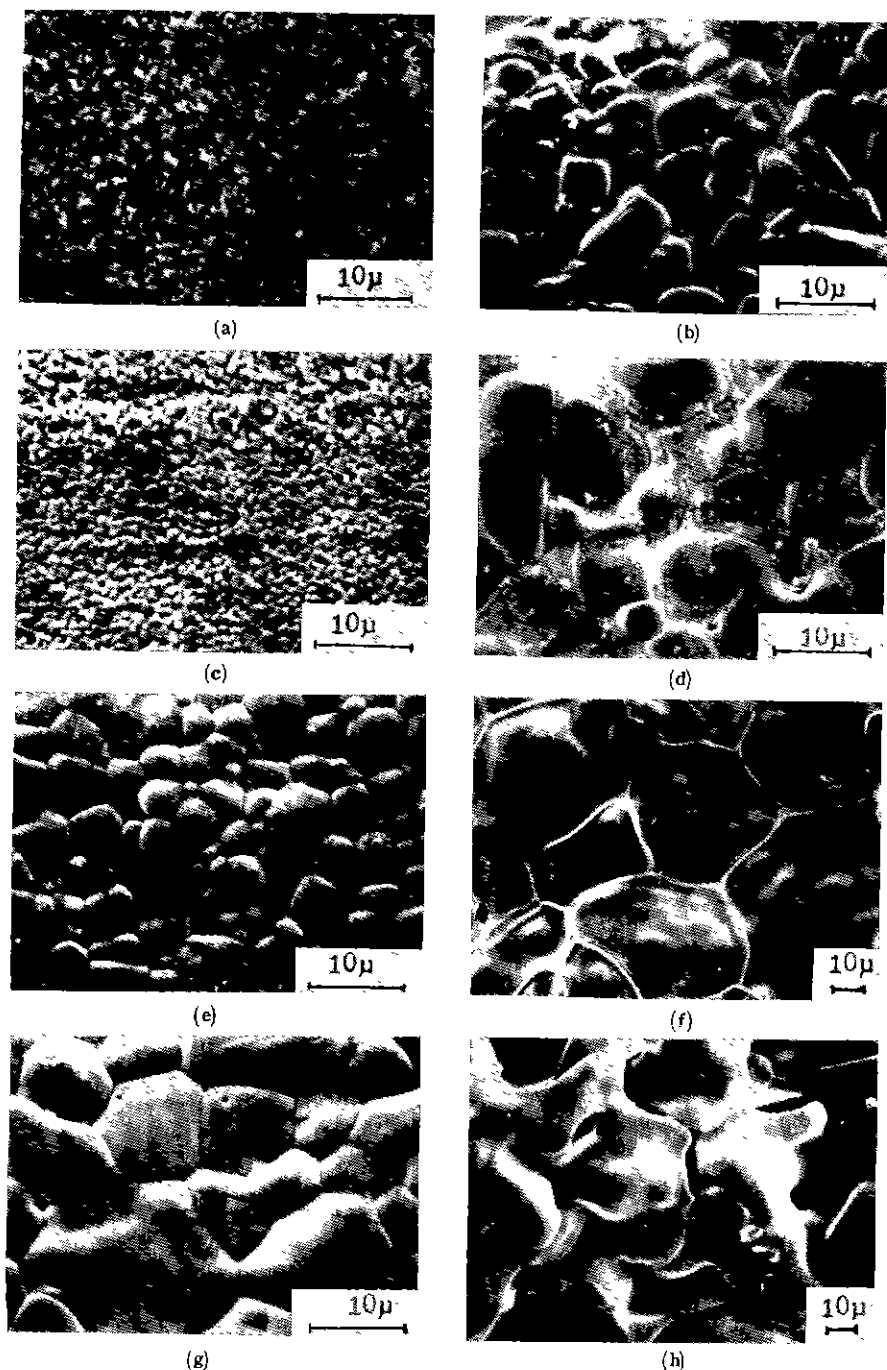


Fig.5. Scanning electron micrographs of pure ZnO and ZnO-Bi<sub>2</sub>O<sub>3</sub> ceramics sintered at various temperature.  
(a, b) 850°C (c, d) 1100°C (e, f) 1300°C (g, h) 1400°C

향을 끼친다는 것을 나타낸 것이다.

### 3. 2 상변화

Bi<sub>2</sub>O<sub>3</sub>의 상변화를 알아보기 위해 X-선 회절분석한 결과 모두  $\alpha$ 상으로 나타났다. Bi<sub>2</sub>O<sub>3</sub>는  $\alpha$ 상 외에 준안정상인  $\beta$ (정방정계),  $\gamma$ (입방정계), 그리고  $\delta$ (입방정계)상이 존재한다.<sup>1)</sup> 소량의 Bi<sub>2</sub>O<sub>3</sub>를 첨가할 경우  $\beta$ 상이 나타났다고 Iga<sup>5)</sup>가 보고하였으며 Wong<sup>6)</sup> 등은 5 mol%의 Bi<sub>2</sub>O<sub>3</sub>를 첨가하여 소결하였을 때 각 온도에서 모두  $\alpha$ 상이 존재한다고 보고하여 본 결과와 잘 일치하였다. 이런 상변화는 전기적 성질을 좌우하기 때문에 Bi<sub>2</sub>O<sub>3</sub>의 첨가량과 소결온도는 매우 중요하다. 그리고, Levin<sup>7)</sup> 등이 보고한 ZnO·6 Bi<sub>2</sub>O<sub>3</sub>나 Safronov<sup>8)</sup> 등이 발표한 ZnO·24 Bi<sub>2</sub>O<sub>3</sub>는 발견되지 않았다.

### 3. 3 미세 구조

Fig. 5는 각 온도에서 소결한 ZnO 계와 ZnO-Bi<sub>2</sub>O<sub>3</sub> 계 시편의 자유표면을 SEM으로 관찰한 사진이다. ZnO 계 시편의 경우 850°C에서는 아직 소결이 진행되지 않았으며 1100°C부터 neck 형성 및 입성장이 일어나기 시작하였으나 아직 많은 기공이 존재한다. 그러나 1300°C에서부터는 치밀화가 원전히 이루어졌으며 1400°C 이후에서는 급격한 입성장뿐만 아니라 기공의 합체도 일어났다.

또한 ZnO-Bi<sub>2</sub>O<sub>3</sub> 계 시편도 온도에 따라 변화를 보였는데 850°C에서는 ZnO 입자가 출발원로처럼 불규칙적이고 입성장이 느리게 진행되었다. 1100°C에서는 다소 큰 입성장이 일어나기 시작하였고 1300°C 이후에는 급격한 입성장에 의해 입자의 다형화가 일어났고 Bi<sub>2</sub>O<sub>3</sub> 입계상은 고른 투께로 분포되어 있다. 그러나, 1400°C에서는 입계상이 존재하여야 할 입계에 큰 흄이 존재하였는데 이는 Bi<sub>2</sub>O<sub>3</sub>의 휘발에 의한 것임을 알 수 있었다. 이처럼 소결거동의 차이는 저용점 Bi<sub>2</sub>O<sub>3</sub>의 영향에 의해 생긴 것인데 ZnO 계 시편의 경우 1300°C 이후 급격한 입성장을 보이지만 Bi<sub>2</sub>O<sub>3</sub> 가 존재할 경우는 이보다 낮은 온도인 1100°C 이후 큰 입성장을 보여 액상 Bi<sub>2</sub>O<sub>3</sub>가 ZnO 입자의 성장에 기여함을 알 수 있다. 각 소결온도에서의 ZnO 입자의 평균입경을 Fig. 6에 나타내었다. 이런 입경변화에 따라 나타나는 Bi<sub>2</sub>O<sub>3</sub> 입계상의 분포를 알아보기 위해 ZnO 입자를 선택부식하고 SEM으로 관찰한 것을 Fig. 7에 나타내었다. 850°C에서는 Bi<sub>2</sub>O<sub>3</sub>가 잘 유동되지 않아 입계상의 분포가 불규칙적이지만 1000°C 이후 입계상의 형태가 3차원적 망목구조를 나타내기 시작하였다. 그러나, 3배위점 부근에 액상 풀을 (liquid pool)이 존재하여 Bi<sub>2</sub>O<sub>3</sub> 입계상의 두께는 고르

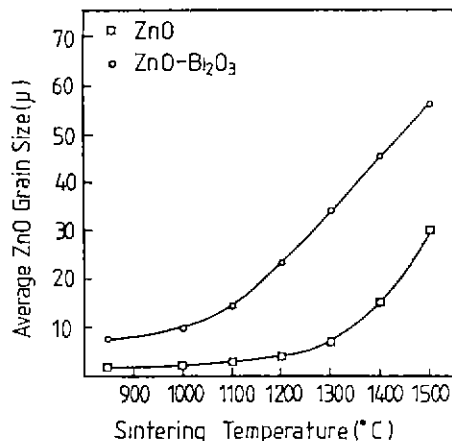


Fig. 6. Average ZnO grain size of the binary ZnO-Bi<sub>2</sub>O<sub>3</sub> and pure ZnO ceramics sintered at various temperature.

지 못하였다. 이는 1300°C 이후 없어지기 시작하여 1400°C에서는 아주 균일한 두께의 입계상이 나타났으나 1500°C에서는 Bi<sub>2</sub>O<sub>3</sub>의 완전휘발에 의해 입계상의 형태는 볼 수 없다. 이로써 Bi<sub>2</sub>O<sub>3</sub>의 입계상은 소결온도에 따른 소결거동에 의해 많은 변화를 보인다는 것을 알 수 있었다.

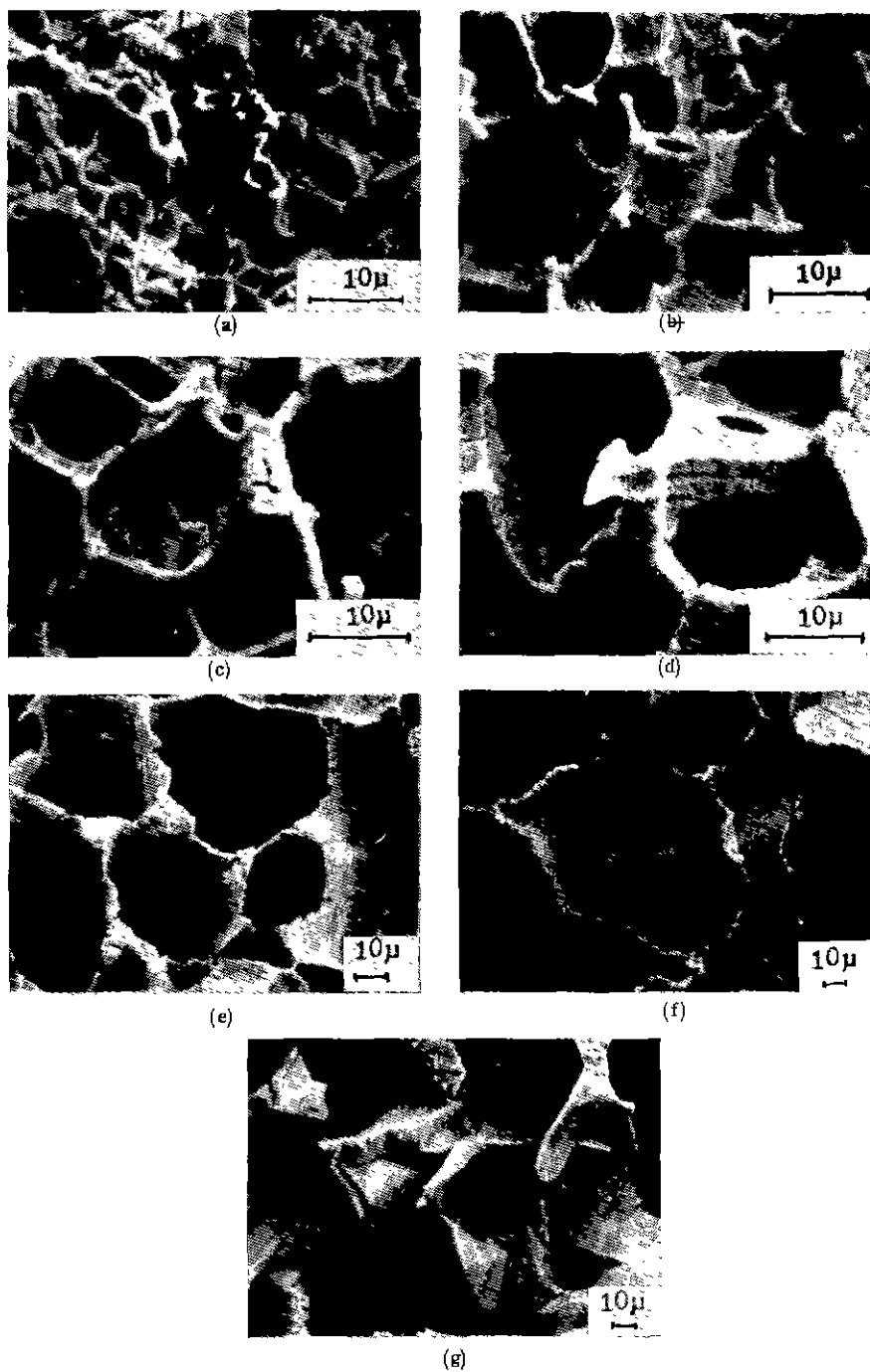
그리고 Fig. 8은 각 소결방법에 의한 Bi<sub>2</sub>O<sub>3</sub> 입계상의 분포를 나타낸 사진이다. 1300°C까지 직접 승온한 A, B, C mode가 계단승온한 D, E, F mode에 비해 균일한 입계상 분포를 보여주고 있다. 이는 A, B, C mode가 고온에서의 유지시간이 길어서 Bi<sub>2</sub>O<sub>3</sub>가 쉽게 유동할 수 있었기 때문이다. 그리고, 같은 승온방법을 가지더라도 서냉한 경우인 A와 D mode에 비해 급냉한 C와 F mode에서 균일한 분포를 보였다. 이는 급냉으로 인해 고온에서 고르게 분포된 Bi<sub>2</sub>O<sub>3</sub> 입계상이 상온까지 유지되었기 때문이다.

이처럼 Bi<sub>2</sub>O<sub>3</sub> 입계상의 분포는 소결방법에 따라서 차이를 보여 직접승온 경우와 급냉한 경우에서 비교적 좋은 Bi<sub>2</sub>O<sub>3</sub> 입계상 분포를 나타냈다.

### 3. 4 전기적 특성

#### 3. 4. 1 소결온도의 영향

각 온도에서 소결한 시편의 상온비저항치를 Fig. 9에 나타내었다. 온도가 증가함에 따라 비저항은 증가하였으나 1500°C에서는 Bi<sub>2</sub>O<sub>3</sub>의 완전휘발에 의해 비저항치는 떨어져 순수한 ZnO 계 시편의 비저항치인 10 Ω·cm정도이다. 이런 비저항치처럼  $\alpha$ 값도 온도에 따라 증가하였다.



**Fig. 7.** Scanning electron micrographs of etched surface of ZnO-Bi<sub>2</sub>O<sub>3</sub> ceramics sintered at various temperature.

(a) 850°C (b) 1000°C (c) 1100°C (d) 1200°C (e) 1300°C (f) 1400°C (g) 1500°C

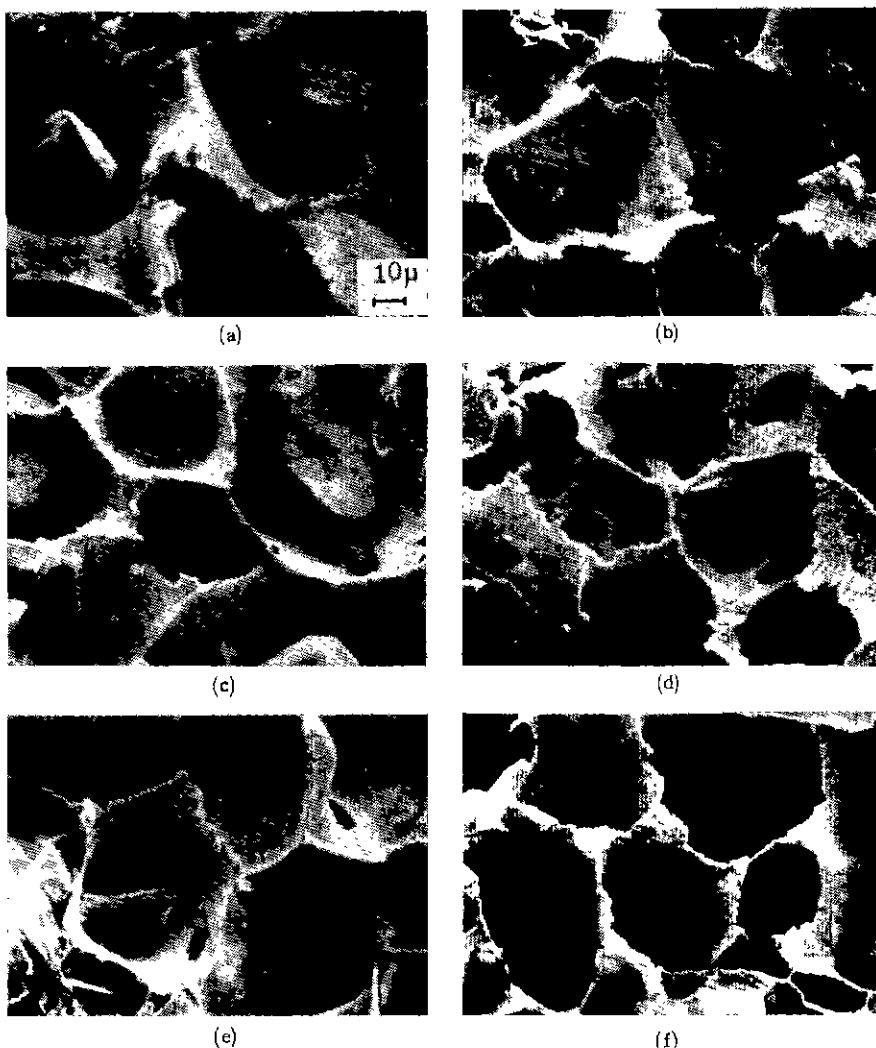


Fig. 8. Scanning electron micrographs of etched surface of ZnO-Bi<sub>2</sub>O<sub>3</sub> ceramics at various sintering mode.

(a) A mode (b) D mode (c) B mode (d) E mode (e) C mode (f) F mode

Fig. 10에 나타냈듯이 1400°C에서 가장 높은  $\alpha$  값을 나타냈는데 이는 Morris<sup>2)</sup>나 Matsuoka<sup>3)</sup>보다 높은 온도이다. 이것은 Bi<sub>2</sub>O<sub>3</sub>의 첨가량때문인데 본 연구에서 Bi<sub>2</sub>O<sub>3</sub>의 고온화발을 고려하여 많은 양의 Bi<sub>2</sub>O<sub>3</sub>를 첨가하였기 때문이다.

Morris,<sup>6)</sup> Matsuoka<sup>10)</sup>, Wong<sup>11)</sup> 연구와 Fig. 7, Fig. 9 그리고 Fig. 10을 관찰시켜 고찰하면 소질온도가 낮은 경우 액상 Bi<sub>2</sub>O<sub>3</sub>가 ZnO 입자를 완전히 도포하지 못하고 또한 ZnO 입자가 성장하지 못해 입계개수가 많아지므로 입

세면적당 Bi<sub>2</sub>O<sub>3</sub>성분이 적게되며, 소질온도가 높은 경우 입자가 크게 성장하여 입계면적당 Bi<sub>2</sub>O<sub>3</sub>성분이 많아질뿐만 아니라 Bi<sub>2</sub>O<sub>3</sub>의 유동이 활발해져 입체층 분포가 균일하게 이루어진다. 이것으로 인해 고온에서 비저항과  $\alpha$  값이 높은 것이며 바리스터 전압은 작은 값을 가지게 되는 것이다. 또한 바리스터 전압은 평균 ZnO 입경에 의해 한 개의 장벽당 전압을 구할 수 있는데 이는 Fig. 11에 나타내었다. 장벽전압(barrier voltage)의 식<sup>12~15)</sup>은 다음과 같이 나타낼 수 있다.

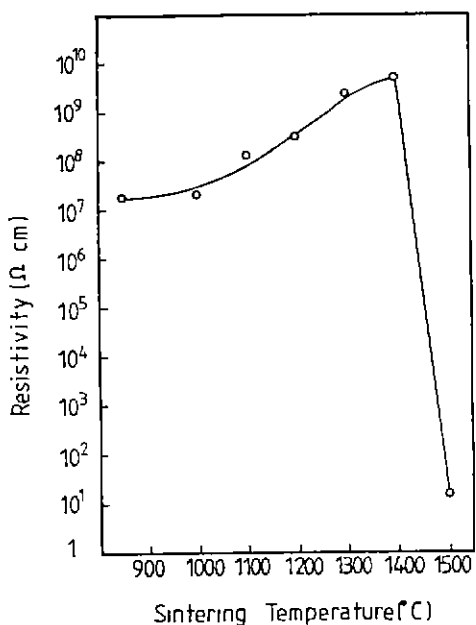


Fig. 9. Room-temperature resistivity of  $\text{ZnO}-\text{Bi}_2\text{O}_3$  ceramics sintered at various temperature.

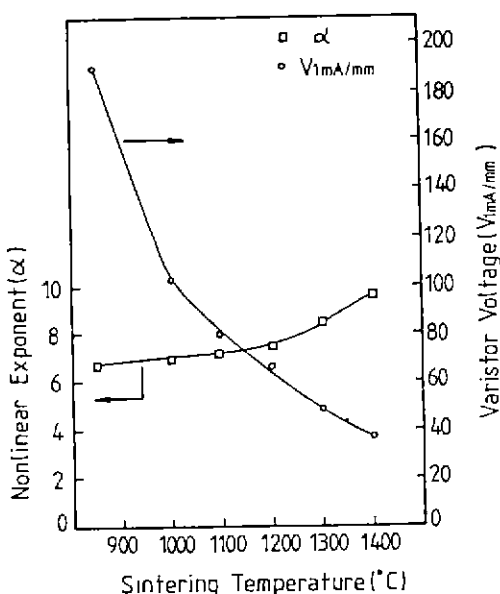


Fig. 10. Nonlinear exponent and varistor voltage of the  $\text{ZnO}-\text{Bi}_2\text{O}_3$  ceramics sintered at various temeprature.

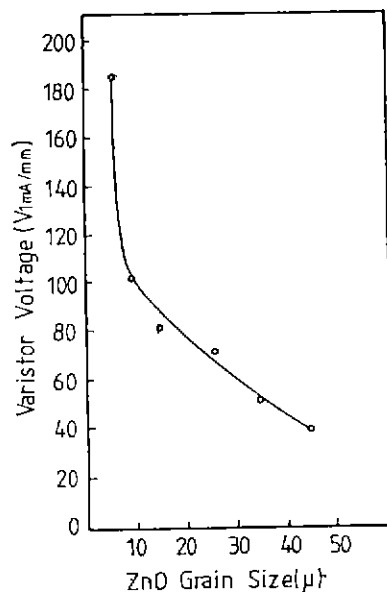


Fig. 11. Varistor voltage versus  $\text{ZnO}$  grain size.

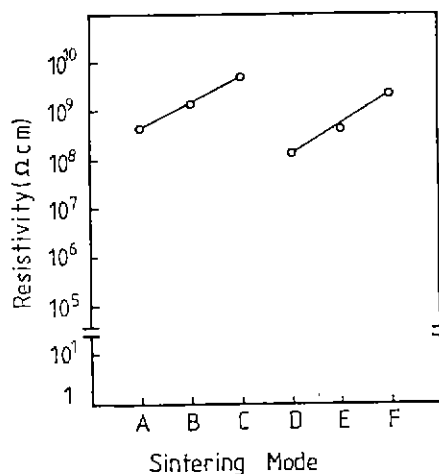


Fig. 12. Room-temperature resistivity of  $\text{ZnO}-\text{Bi}_2\text{O}_3$  ceramics sintered at various mode.

$$V_g = V_B \cdot d \quad \dots \dots \dots (1)$$

여기서,  $V_g$ 는 장벽전압(V),  $V_B$ 는 마리스터 전압( $\text{V}_{1mA}/\text{mm}$ )  $d$ 는 평균  $\text{ZnO}$  입경( $\mu\text{m}$ )이다. 이 식을 이용한 결과 장벽전압은 약 1.5 V임을 알 수 있었다.

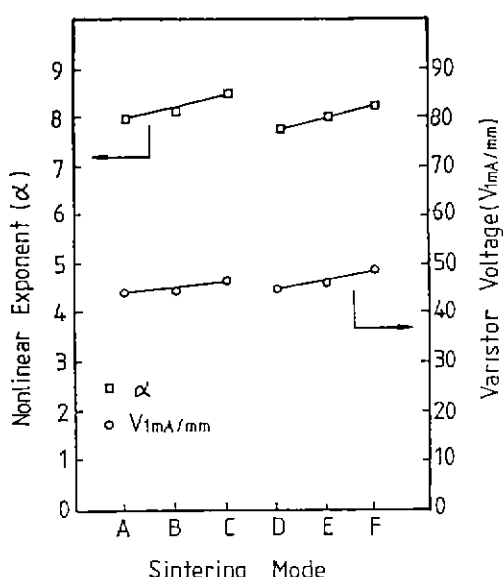


Fig.13. Nonlinear exponent and varistor voltage of the ZnO-Bi<sub>2</sub>O<sub>3</sub> ceramics sintered at various sintering mode.

### 3. 4. 2 소결방법의 영향

각 소결방법에 따른 비저항과  $\alpha$  값, 바리스터 전압을 Fig.12 와 Fig.13에 나타내었다. 비저항치와  $\alpha$ 값의 경우 A, B, C mode 가 D, E, F mode에 비해 다소 높은 값을 보였는데 이는 Fig.8에서 보았듯이 Bi<sub>2</sub>O<sub>3</sub>입계상의 분포에 의한 것으로 생각된다. 또한, 서냉한 경우보다 급냉한 경우에서 좋은 비저항치와  $\alpha$ 값을 보여 미세구조와 관련이 있음을 확인할 수 있었다.

이와 달리 바리스터 전압은 고온에서 유지시간이 길었던 A, B, C mode가 더 작은 값을 보였는데 이는 ZnO 입성장이 많이 진행되어 단위 길이당 입계의 수가 적기 때문이다. 그리고, 같은 승온과정이라 할지라도 냉각과정에 따라 변화를 보였는데 급냉한 C와 F mode가 다소 높은 값을 보였다. 이것 또한 급냉과정으로 인해 고온에서 유지시간이 서냉한 경우에 비해 작기때문에 ZnO 입성장이 다소 느렸기 때문이라 생각된다.

## 4. 결론

소결온도와 소결방법에 의한 미세구조와 전기적 성질과의 관계를 고찰하여 본 결과는 다음과 같다.

1. ZnO 계에 비해 ZnO-Bi<sub>2</sub>O<sub>3</sub>계에서 큰 ZnO 입성장을 보였으며 각 경우에서 나타난 Bi<sub>2</sub>O<sub>3</sub>는  $\alpha$ 상이었다.

2. Bi<sub>2</sub>O<sub>3</sub>는 1300°C 이후 급격히 휘발하였고 1500°C에서는 ZnO도 일부 휘발하였으며 직접 승온하고 서냉한 경우에서 비교적 휘발량이 커졌다.

3. Bi<sub>2</sub>O<sub>3</sub>의 휘발에도 불구하고 1400°C에서 가장 높은 비저항과  $\alpha$ 값을 보였는데 이는 Bi<sub>2</sub>O<sub>3</sub>의 유동이 활발하고 ZnO 입성장이 촉진되어 Bi<sub>2</sub>O<sub>3</sub>입계층 형성이 균일하게 되었기 때문이다.

4. 직접 승온한 경우가 계단처리한 경우에 비해 좋은 전기적 특성을 보였으며 또한 같은 승온과정이라 할지라도 급냉한 경우에서 좋은 전기적 특성을 보았다. 이는 고온에서 소결시간이 길고 고온에서 가지고 있던 Bi<sub>2</sub>O<sub>3</sub> 입계층 상태를 상온에 유지하였기 때문이다.

### 「감사의 글」

본 연구는 한국과학재단의 기초연구비 지원으로 이루어졌으며 이에 감사드립니다.

## REFERENCES

- 柳田博明, “ファインセラミクス事典”, 技報堂出版, 東京, 65-77, 468-479, (1987).
- W.G.Morris, “Electrical Properties of ZnO-Bi<sub>2</sub>O<sub>3</sub> Ceramics”, *J. Am. Ceram. Soc.*, 56(7), 360-364, (1973).
- E.Olsson, L.K.L.Falk & G.L.Dunlop, “The Microstructure of a ZnO Varistor Material”, *J. Mat. Sci.*, 20(12), 4091-4098, (1985).
- J.Wong, “Microstructure and Phase Transformation in Highly Nonohmic Metal Oxide Varistor Ceramics”, *J. Appl. Phys.*, 46(4), 1653-1659, (1975).
- 一ノ瀬昇, “ZnO系バリスタ材料とその應用”, CMC Tech., No.13, 284-301, (1984).
- J.Wong & W.G.Morris, “Microstructure and Phase in Nonohmic ZnO-Bi<sub>2</sub>O<sub>3</sub> Ceramics”, *Ceram. Bull.*, 53(11), 816-820, (1974).
- E.M.Levin & R.S.Roth, “Polymorphism of Bismuth Sesquioxide ; 2”, *J. Res. Nat. Bur. Stand. Sect. A*, 68(2), 197-206, (1964).

8. G.M.Safronov, V.N.Batog, T.V.Stepanyuk & P.M.Fedorov, "Equilibrium Diagram of the Bismuth Oxide-Zinc Oxide System", *Ress, J. Inorg. Chem. Sci.*, **56**(7), 360-364, (1973).
9. L.Benes, V.Rambousek, M.Predota & J.Horak, "Interaction of Zinc Oxide with Bismuth Oxide", *J. Mat. Sci.*, **21**(12), 3345-3347, (1986).
10. M.Matsuoka, "Nonohmic Properties of ZnO Oxide Ceramics", *Jpn. J. Appl. Phys.*, **10**(6), 736-747, (1971).
11. J.Wong, "Sintering and Varistor Characteristics of ZnO-Bi<sub>2</sub>O<sub>3</sub> Ceramics", *J. Appl. Phys.*, **51**(8), 4453-4459, (1980).
12. L.M.Levinson & H.R.Philipp, "Zinc Oxide Varistors", *Ceram. Bull.*, **65**(4), 639-646, (1986).
13. J.Wong, "Barrier Voltage Measurement in Metal Oxide Varistors", *J. Appl. Phys.*, **47**(11), 4971-4974, (1976).
14. W.G.Morris, "Physical Properties of the Electrical Barriers in Varistor", *J. Vac. Sci., Tech.*, **13**(4), 926-931, (1976).
15. P.R.Emtage, "The Physics of ZnO Oxide Varistor", *J. Appl. Phys.*, **48**(10), 4372-4384, (1977).